# МЕТАБОЛИЗМ СОЕДИНИТЕЛЬНОЙ ТКАНИ У БЕРЕМЕННЫХ ЖЕНЩИН С РУБЦОМ МАТКИ И МОРФОЛОГИЧЕСКИЕ ОСОБЕННОСТИ РУБЦОВОЙ ТКАНИ НИЖНЕГО СЕГМЕНТА МАТКИ И КОЖИ, ИССЕЧЕННЫХ ПРИ ПОВТОРНОМ КЕСАРЕВОМ СЕЧЕНИИ

#### Быховцова И.В., Ващилина Т.П.

Государственное учреждение «Республиканский научно-практический центр «Мать и дитя»

г. Минск, Республика Беларусь

#### Введение

Социальная и медицинская значимость проблемы рубца матки у женщин с одним кесаревым сечением в анамнезе обусловлена нерешенными вопросами ведение беременности и выбора оптимального метода родоразрешения у данной группы женщин.

Частота встречаемости несостоятельности рубца матки колеблется в широком диапазоне от 19% до 86%, что объясняется сложностью диагностики данного состояния.

Значительное внимание к проблеме дисплазии соединительной ткани связано с широкой распространенностью отдельных ее проявлений в популяции, которая колеблется от 26% до 80%. Генерализованный характер повреждения соединительной ткани с вовлечением в патологический процесс репродуктивной системы оказывает неблагоприятное влияние на течение беременности и родов у женщин с послеоперационным рубцом матки.

Известные на сегодня факторы риска и критерии оценки состояния рубца матки у беременных женщин, обладающих достаточной прогностической значимостью в отношении исхода родоразрешения не позволяют достичь значимого снижения частоты повторного кесарева сечения, ввиду чего необходим дальнейший поиск предикторов формирования несостоятельности послеоперационного рубца матки.

#### Цель исследования

Определить особенности метаболизма соединительной ткани у беременных женщин с послеоперационным рубцом матки и морфологические признаки рубцовой ткани матки и кожи, иссеченных при повторном кесаревом сечении.

### Методы исследования

Определена концентрация показателей обмена соединительной ткани в сыворотке крови и изучены морфологические признаки рубцовой ткани нижнего сегмента матки (далее – HCM) и кожи, иссеченных в ходе хирургического вмешательства у 90 беременных женщин.

Заключение о наличии признаков фенотипических нарушений соединительной ткани устанавливалось в соответствии с Национальными клиническими рекомендациями «Диагностика и лечение наследственных и мультифакторных нарушений соединительной ткани», Минск, 2014 г.

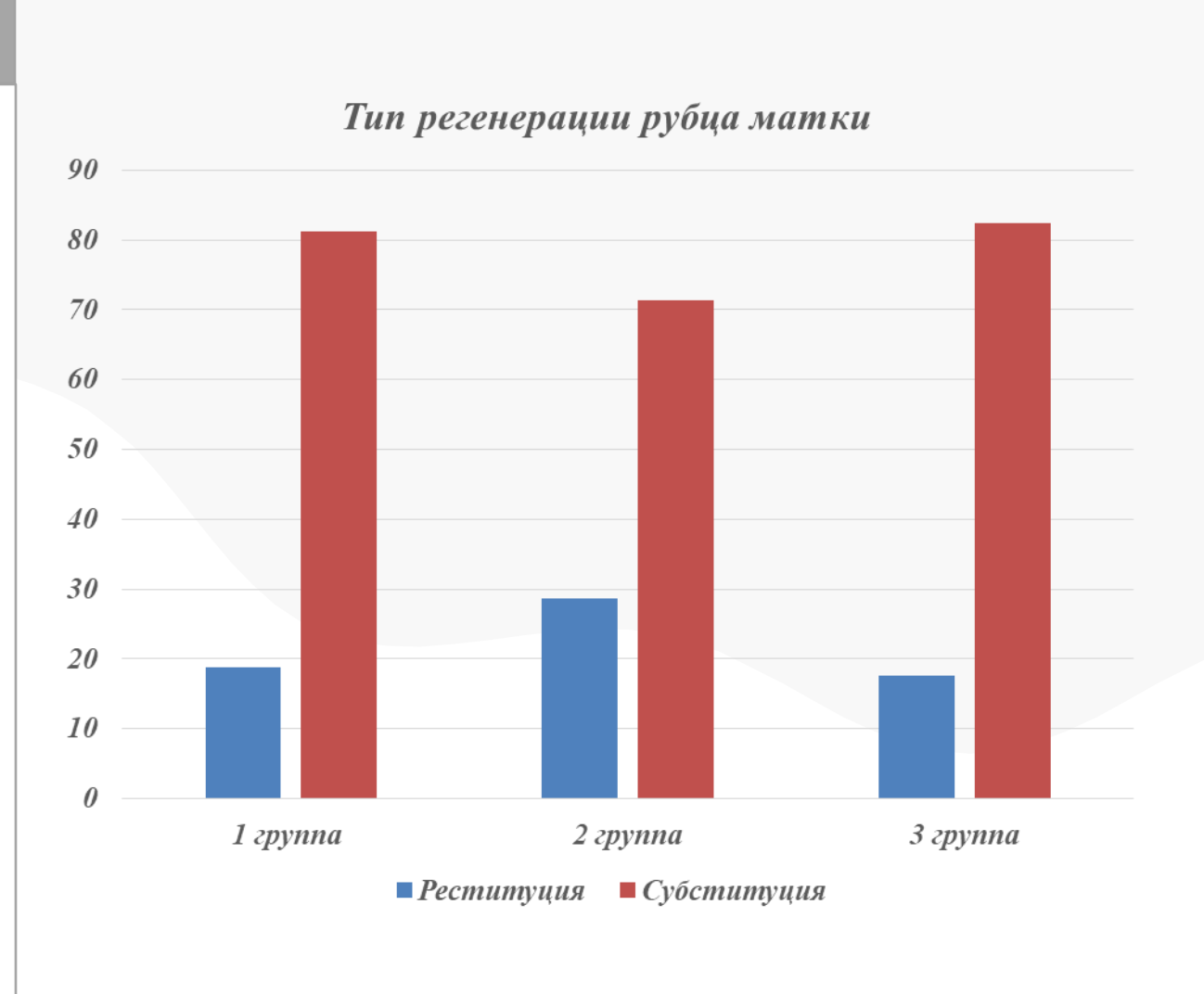
- В зависимости от интраоперационной (визуальной) оценки послеоперационного рубца матки с учетом количества признаков нарушений соединительной ткани у женщин были сформированы 3 группы:
- группа 1 беременные женщины с многофакторными нарушениями соединительной ткани (далее МНСТ) и несостоятельным послеоперационным рубцом матки, n=30;
- группа 2 беременные женщины без МНСТ и несостоятельным послеоперационным рубцом матки, n=30;
- группа 3 беременные женщины без МНСТ и состоятельным послеоперационным рубцом матки, n=30.

## Результаты и обсуждение

По данным морфологического исследования кожного рубца было выделено 2 вида рубцовой ткани: нормотрофический (НР) и гипертрофический рубец (ГР). В большинстве случаев у женщин с несостоятельным послеоперационным рубцом матки регистрировался ГР: в группе 1 –11 (64,7%) случаев, в группе 2 – 12 (52,2%) случаев, а у женщин с состоятельным послеоперационным рубцом матки – НР (10 (52,6%) случаев). Как видно из таблицы 1 сосуды, с формированием агрегатов в гипертрофических рубцах достоверно чаще встречались в группе 2 по сравнению с группой 3 (р=0,019). Одновременно при МНСТ отмечено снижение доли параллельно ориентированных коллагеновых волокон в дерме рубцов до 36,4% (р=0,005), что свидетельствует о дезорганизации коллагенового матрикса и неполноценном ремоделировании по сравнению со зрелыми нормотрофическими рубцами. При сравнительном анализе типа регенерации рубцовой ткани НСМ матки не было выявлено статистически значимых различий в группах исследования (р>0,05) (рис. 1).

В дальнейшем с целью определения степени зрелости соединительной ткани при субституции (табл.2) анализировалось соотношение клеточного состава и аморфного вещества, клеточному составу, направление и ход волокон в аморфном веществе, наличие и качественный состав сосудов. В результате проведённого анализа статистически значимых различий в группах исследования выявлено не было (р>0,05).

Изучение макро- и микроэлементов соединительной ткани, способствует более полному пониманию патогенетических основ формирования несостоятельности рубца матки у женщин группы риска. Анализ лабораторных данных показал, что у беременных с несостоятельным послеоперационным рубцом матки и МНСТ, наблюдается статистически значимое снижение уровня макроэлементов в сыворотке крови: концентрация общего кальция –1,85 ммоль/л, концентрация общего магний – 1,10 ммоль/л, концентрация фосфора – 1,07 ммоль/л по сравнению с беременными, у которых рубец матки был состоятельный (U1-3=138, p=0,028; U1-3=139, p=0,031; U1-3=144, p=0,042). Результаты лабораторного обследования представлены в таблице 3.



**Рисунок 1** – Тип регенерации рубцовой ткани НСМ в исследуемых группах, %

Показатели	I	Статистическая		
	1 n=19	2 n=23	3 n=24	значимость результатов
Mg <sup>2+</sup> , ммоль/л	0,40 (0,37–0,46)	0,42 (0,38–0,46)	0,40 (0,36–0,45)	$U_{1-3}$ =214; $p$ =0,741 $U_{2-3}$ =251; $p$ =0,602 $U_{1-2}$ =182; $p$ =0,362
Mg общий, ммоль/л	1,10 (1,04–1,18)	1,15 (1,06–1,32)	1,17 (1,10–1,25)	$U_{1-3}$ =138; $p$ =0,028 $U_{2-3}$ =249; $p$ =0,580 $U_{1-2}$ =170; $p$ =0,225
Ca <sup>2+</sup> , ммоль/л	0,84 (0,75–0,91)	0,84 (0,75–0,89)	0,83 (0,74–0,93)	$U_{1-3}$ =226; $p$ =0,970 $U_{2-3}$ =262; $p$ =0,782 $U_{1-2}$ =210; $p$ =0,839
Са общий, ммоль/л	1,85 (1,73–1,89)	1,83 (1,72–2,13)	1,92 (1,81–2,11)	$U_{1-3}$ =139; $p$ =0,031 $U_{2-3}$ =221; $p$ =0,250 $U_{1-2}$ =195; $p$ =0,569
Fe <sup>2+</sup> , мкмоль/л	11,7 (9,7–15,5)	12,7 (10,2–18,4)	14,9 (9,8–26,8)	$U_{1-3}$ =176; $p$ =0,207 $U_{2-3}$ =219; $p$ =0,229 $U_{1-2}$ =204; $p$ =0,732
Медь, мкмоль/л	27,9 (23,2–31,6)	28,4 (24,3–31,8)	28,6 (23,3–32,6)	$U_{1-3}$ =213; $p$ =0,722 $U_{2-3}$ =275; $p$ =0,991 $U_{1-2}$ =196; $p$ =0,578
Фосфор, ммоль/л	1,07 (0,94–1,16)	1,07 (0,99–1,24)	1,18 (1,06–1,28)	$U_{1-3}$ =144; $p$ =0,042 $U_{2-3}$ =219; $p$ =0,233 $U_{1-2}$ =180; $p$ =0,343

**Таблица 3** - Биохимические показатели обмена соединительной ткани в группах исследования

Признак	1	2 группа n=12	3 группа n=9	Статистическая значимость результатов
Выраженный гиперкератоз	1 (9,1)	0	1 (11,1)	p1-3=1,000 p2-3=0,428 p1-2=0,478
Выраженный акантоз	2 (18,2)	3 (25,0)	2 (22,2)	p1-3=1,000 $\chi 22-3=0,14; p=0,711$ $\chi 21-2=0,01; p=0,912$
Выраженное очагово- диффузное утолщение коллагеновых волокон	6 (54,5)	11 (91,7)	5 (55,6)	$\chi^{2}_{1-3}$ =0,00; p=0,964 $\chi^{2}_{2-3}$ =3,70; p=0,054 $\chi^{2}_{1-2}$ =4,10; p=0,042
Параллельная ориентация коллагеновых волокон в дерме	4 (36,4)	11 (91,7)	7 (77,8)	$\chi^{2}_{1-3}$ =3,43; p=0,064 $\chi^{2}_{2-3}$ =0,81; p=0,368 $\chi^{2}_{1-2}$ =7,74; p=0,005
Разнонаправленная ориентация коллагеновых волокон в дерме (дезорганизованный коллаген)	4 (36,4)	1 (8,3)	0	p1-3=0,094 p2-3=1,000 χ21-2=1,26; p=0,261
Сосудистые агрегаты	4 (36,4)	7 (58,3)	0	p1-3=0,094 χ22-3=5,47; p=0,019 χ21-2=1,11; p=0,292

**Таблица 1** – Морфологическая характеристика гипертрофического рубц на коже в исследуемых группах

Соединительная ткань	1 группа n=13	2 группа n=15	3 группа n=14	Статистическая значимость результатов
Рыхлая неоформленная	0	2 (13,3)	1 (7,1)	p <sub>2-3</sub> =1,000 p <sub>1-2</sub> =0,484
Плотная волокнистая неоформленная	6 (46,2)	11 (73,3)	9 (64,3)	$\chi^{2}_{1-3}$ =0,03; p=0,863 $\chi^{2}_{2-3}$ =0,84; p=0,359 $\chi^{2}_{1-2}$ =1,15; p=0,283
Плотная волокнистая оформленная	7 (53,8)	2 (13,3)	4 (28,6)	$\chi^{2}_{1-3}$ =0,30; p=0,581 $\chi^{2}_{2-3}$ =0,95; p=0,330 $\chi^{2}_{1-2}$ =2,24; p=0,134

**Таблица 2** – Степень зрелости соединительной ткани при субституции

#### Выводы

- 1. У женщин с несостоятельным рубцом матки и МНСТ чаще выявляется гипертрофический рубец на коже с сосудистыми агрегатами (p=0,019) и низкой долей параллельно ориентированных коллагеновых волокон в дерме (p=0,005).
- 2.У беременных женщин с МНСТ и несостоятельным рубцом матки выявляются сниженные уровни сывороточных микроэлементов: кальций 1,85 ммоль/л, магний 1,10 ммоль/л и фосфор 1,07 мкмоль/л.